

ДВЕ МОДЕЛИ ТУННЕЛЬНОЙ ИЗЛУЧАТЕЛЬНОЙ РЕКОМБИНАЦИИ В НЕУПОРЯДОЧЕННЫХ ПОЛУПРОВОДНИКАХ

Барановский С. Д., Шкловский Б. И.

Теоретически исследуются и сравниваются модели туннельной излучательной рекомбинации для легированного сильно компенсированного кристаллического полупроводника и аморфного полупроводника. Для обеих моделей строится картина стационарного состояния системы при постоянной фотогенерации носителей. Получены зависимости концентрации неравновесных носителей и положения максимума люминесценции от скорости генерации. При увеличении скорости генерации спектр люминесценции сдвигается в коротковолновую сторону. В легированном полупроводнике это происходит благодаря экранировке неравновесными носителями крупномасштабного кулоновского потенциала, а в аморфном полупроводнике — благодаря заполнению локализованных состояний хвостов зон неравновесными носителями.

1. Введение. Многочисленные экспериментальные данные свидетельствуют о том, что в некоторых случаях излучательный процесс является основным каналом рекомбинации неравновесных носителей как в легированных кристаллических, так и в аморфных полупроводниках [1, 2]. В связи с этим в настоящей работе теоретически исследуются и сравниваются две модели излучательной рекомбинации. Первая (модель 1) формулируется для легированного сильно компенсированного кристаллического полупроводника. В этом случае беспорядок связан с пространственными флуктуациями концентрации заряженных примесей. Флуктуации создают электростатический потенциальный рельеф, в ямах которого возможна локализация носителей. В результате вблизи краев разрешенных зон образуются хвосты из локализованных состояний. Вторая модель (модель 2) предназначена, в частности, для описания аморфного полупроводника. В этом случае также имеются хвосты, образованные локализованными состояниями, вблизи краев зон, но, как принято считать, эти состояния связаны не с заряженными примесями, а с нейтральными короткодействующими потенциальными ямами, случайно распределенными в пространстве. Считается [3], что такие ямы возникают, например, благодаря флуктуациям длин валентных связей и углов между ними. Обе модели широко обсуждаются в литературе. Модель 1 подробно описана в [4], а модель 2 — в [3].

Цель работы — вычисление зависимости стационарной концентрации электронов n от скорости фотогенерации G , т. е. числа электронно-дырочных пар, создаваемых светом в единице объема в единицу времени. При этом предполагается, что основным каналом рекомбинации является туннельная излучательная рекомбинация.

Зная функцию $n(G)$ в каждой модели, нетрудно оценить сдвиг максимума люминесценции $\Delta(G)$ в длинноволновую сторону от частоты, соответствующей ширине запрещенной зоны. Этот сдвиг сравнительно легко наблюдается в эксперименте и поэтому удобен для сравнения с предсказаниями теории.

Будем считать, что носители создаются светом с достаточно большой энергией квантов, т. е. электроны и дырки рождаются в локализованных состояниях. Температуру системы примем близкой к нулю. В этом случае после рождения носители термализуются за малые времена (порядка времени излучения нескольких фононов) и захватываются в локализованные состояния

хвостов зон, имея возможность в дальнейшем туннелировать из одних локализованных состояний в другие. Рекомбинация также происходит путем туннельного процесса между локализованными состояниями дырки и электрона. Взаимное влияние и конкуренция этих двух туннельных процессов и составляют основной предмет этой работы.

2. *Туннельная излучательная рекомбинация в сильно легированном сильно компенсированном полупроводнике.* Проблеме излучательной рекомбинации в сильно легированных компенсированных полупроводниках посвящено множество работ (см. обзор [4] и библиографию к нему). Здесь мы рассмотрим только случай низких температур, когда можно пренебречь термоактивацией носителей из локализованных состояний хвоста зоны (противоположный случай см. в [5]). Такая ситуация приведена в [6, 7], однако в [6] изучалась лишь спектральная зависимость интенсивности фотолюминесценции, а в [7] для $n(G)$ при низкой температуре получен результат, справедливый, как будет показано далее, только в случае достаточно больших значений n .

Рассмотрим сильно легированный сильно компенсированный полупроводник (для определенности n -типа) с концентрацией доноров N_D и акцепторов $N_A < N_D$. Будем считать, что корреляция в расположении примесей отсутствует. Структура основного состояния такой системы в отсутствие генерации подробно описана в [8]. Флуктуации концентрации заряженных доноров и акцепторов создают в пространстве потенциальный рельеф, параметры которого определяются концентрациями примесей и экранирующих носителей. В отсутствие генерации экранировку обеспечивают нескомпенсированные электроны, концентрация которых равна $\tilde{n} = N_D - N_A$. При наличии генерации вклад в экранирование дают также и неравновесные носители, причем при $n \gg \tilde{n}$ они играют основную роль. В случае, когда $n \ll N_A$, экранирование является нелинейным и описывается известными для $G=0$ выражениями [8], в которых нужно \tilde{n} заменить на n . Характерный пространственный масштаб R_s флюктуаций, остающихся неэкранированными, и потенциальная энергия $\gamma(R_s)$ пробного электрона в поле таких флюктуаций по порядку величины равны [8]

$$R_s = N^{1/3}/n^{2/3}, \quad (1)$$

$$\gamma(R_s) = e^2 N^{2/3} / \kappa n^{1/3}, \quad (2)$$

где $N = N_D + N_A$, e — заряд электрона, κ — диэлектрическая проницаемость. Таким образом, при $N_D - N_A \ll n \ll N_A$ в стационарных условиях в системе имеется крупномасштабный потенциальный рельеф с характерными параметрами (1), (2).

Рожденные светом носители термализуются, захватываясь в ямы потенциального рельефа. При этом происходит пространственное разделение рожденных в одном акте электрона и дырки, поскольку потенциальная яма для электрона является потенциальным горбом для дырки. После термализации носители имеют возможность туннелировать из одних потенциальных ям в другие в пределах своих разрешенных зон, а также туннельно излучательно рекомбинировать. Характерное время $\tau_t(R)$ внутризонного туннелирования на расстояние R под потенциальным барьером высотой γ имеет вид

$$\tau_t(R) = v^{-1} \exp\{R \sqrt{m\gamma}/\hbar\}, \quad (3)$$

где m — масса туннелирующей частицы, $v \approx 10^{13}$ с⁻¹. Характерное же время туннельной излучательной рекомбинации электрона и дырки, разделенных расстоянием R и потенциальным барьером высотой γ , равно

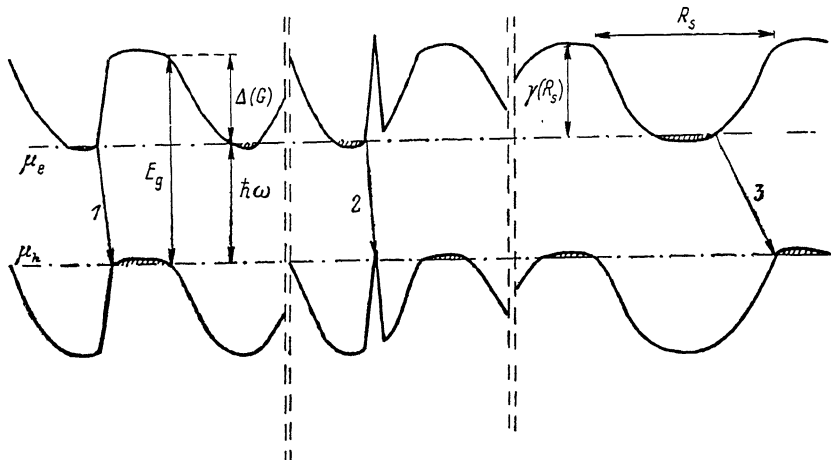
$$\tau_r(R) = \tau_0 \exp\{R \sqrt{m\gamma}/\hbar\}, \quad (4)$$

где $\tau_0 \geq 10^{-8}$ с (для определенности мы будем иметь в виду прямозонный полупроводник).

В сильно компенсированном полупроводнике ямы потенциального рельефа обычно настолько широки и глубоки, что являются классическими не только для тяжелых дырок, но и для электронов, т. е. все носители находятся вблизи дна своих ям. Основной вклад в туннелирование дырок дают легкие дырки,

имеющие массу m_i , близкую к эффективной массе электрона m . Таким образом, возникает симметричная по электронам и дыркам картина, в которой все носители обладают одинаковой легкой массой m .

Для описания стационарного состояния первостепенную роль играет очень большое различие в предэкспоненциальных факторах (3) и (4): $\nu\tau_0 \approx 10^6$. Оно приводит к тому, что внутризонное туннелирование быстро устанавливает квазиравновесие в пределах каждой зоны. При этом для вычисления скорости рекомбинации следует учесть, что в системе существуют редкие области, в которых потенциальные ямы для электронов и дырок отстоят друг от друга на длину, меньшую типичного расстояния R_s . Поскольку и электроны, и дырки имеют возможность легко перемещаться в пространстве, эти редкие области



Искривленные крупномасштабным потенциалом дно зоны проводимости и потолок валентной зоны в модели 1.

Изображены только флуктуации энергетического масштаба $\gamma(R_s)$. Штрихпунктиром показаны квазиуровни Ферми электронов (μ_e) и дырок (μ_h). Заштрихованы заполненные состояния. Процессам 1, 2, 3 соответствуют зависимости (7), (10), (11) соответственно. Характерная энергия люминесценции $\hbar\omega = -E_g - \Delta(G)$, где $\Delta(G)$ — сдвиг спектра по отношению к ширине запрещенной зоны E_g .

должны играть роль эффективных центров рекомбинации (см. рисунок, процессы 1, 2).

Найдем параметры областей, в которых тунNELьная излучательная рекомбинация происходит наиболее эффективно. Эти области характеризуются тем, что в них потенциал амплитуды $\gamma(R_s)$ создан в объеме, много меньшем R_s , и произведение их концентрации на частоту рекомбинации носителей максимально. Решим сначала задачу для классических Гауссовых флуктуаций. Опуская численные коэффициенты и предполагая, что флуктуация представляет собой равномерно заряженный шар с избыточным зарядом Z , легко получить вклад флуктуаций размером R в рекомбинационный поток, равный

$$\frac{1}{R_s^3\tau_0} \exp\left(-\frac{Z^2}{NR^3}\right) \exp\left(-\frac{R\sqrt{m\gamma(R_s)}}{\hbar}\right). \quad (5)$$

Первый экспоненциальный множитель — вероятность появления Z избыточных примесей в объеме R^3 , а второй — вероятность туннелирования электрона на расстояние R [8]. Избыточный заряд Z связан с R и $\gamma(R_s)$ соотношением

$$Z = \pi R \gamma(R_s)/e^2. \quad (6)$$

Подставляя (6) в (5), найдя максимум показателя экспоненты по R и подставляя его в (5), получаем для стационарной концентрации электронов

$$n \approx n_0 / [\ln(n_0/G\tau_0)]^{1/5}, \quad (7)$$

где $n_0 = N/(Na_i^3)^{1/5}$, $a_i = \hbar^2\pi/m_i e^2$. Этот результат был впервые получен в [7].

Мы рассмотрели Гауссовые флюктуации, в которых отклонение числа примесей от среднего относительно мало. Однако в системе существуют и так называемые пуссоновские флюктуации — компактные скопления примесей типа многозарядных ядер [8]. Скопления доноров создают потенциальную яму для электрона, а скопления акцепторов — для дырки. Плотность создаваемых такими флюктуациями локализованных состояний $g(\epsilon)$ в хвосте зоны убывает с ростом энергии ϵ в глубь запрещенной зоны по закону [8]

$$\ln [g(\epsilon)/g(0)] = -\beta (\epsilon/E_0)^{1/2}, \quad (8)$$

где $\beta > 1$ — логарифмическая функция ϵ . Легко показать, что локализованные на глубине порядка $\gamma(R_s)$ в таких ямах электроны и дырки в среднем расположены в пространстве на расстоянии друг от друга, много большем R_s . Однако если пуссоновская яма для дырки (электрона) попадает в область потенциальной ямы для электрона (дырки), созданной крупномасштабным Гауссовым потенциалом, то такое место будет вносить значительный вклад в рекомбинацию, поскольку туннелированием носителя в этом случае можно пренебречь и считать, что время рекомбинации порядка τ_0 (см. рисунок, процесс 2).

Подставляя в (8) $E_0 = m_h e^4 / \hbar^2 x^2$, где m_h — масса тяжелой дырки, и $\epsilon = \gamma(R_s)$, получаем, что концентрация таких многозарядных скоплений примесей равна

$$N' = N \exp [-3\beta (N/n)^{1/2} (Na_h^3)^{1/2}], \quad (9)$$

где $a_h = a_i m_i / m_h$. Находя n из условия $G = N' / \tau_0$, получаем для стационарной концентрации фотоэлектронов

$$n = N \frac{(3\beta)^6 (Na_h^3)}{[\ln (N/G\tau_0)]^6}. \quad (10)$$

Сравнивая рекомбинационные потоки, обеспечиваемые Гауссовыми и Пуссоновскими флюктуациями, легко показать, что Гауссовые флюктуации обеспечивают доминирующий поток только при $n > n'' \equiv (a_i a_h^2)^{-1}$. Это значит, что соотношение (7) справедливо только в пределе очень больших концентраций $n > n''$.

При выводе (7) и (10) предполагалось, что в каждой зоне носители находятся в квазиравновесии. При уменьшении n это условие обязательно нарушается, поскольку возрастают и пространственный, и энергетический масштабы потенциального рельефа, что затрудняет продвижение носителей к оптимальной для рекомбинации области. Иными словами, при достаточно малых n рекомбинация становится диффузионно лимитируемой. Это происходит при таком значении $n = n'$, когда время безызлучательного туннелирования в потенциале с параметрами R_s и $\gamma(R_s)$ становится сравнимым с временем излучательной рекомбинации в оптимальной области, т. е. экспоненциальный фактор в (3), (4) при $R = R_s$ становится порядка $\nu \tau_0$. Сравнивая времена, легко показать, что $n' = n_0 / [\ln \nu \tau_0]^{1/2}$. Таким образом, при $n < n'$ рекомбинация носителей происходит в типичных областях размером R_s . В этом случае для определения n имеем соотношение $G = n / \tau_r(R_s)$, которое приводит к зависимости

$$n = n_0 / [\ln (n_0/G\tau_0)]^{1/2}. \quad (11)$$

Сдвиг максимума люминесценции $\Delta(G)$ по порядку величины равен амплитуде крупномасштабного потенциала γ (см. рисунок), которая вычисляется с помощью подстановки в (2) найденных выше зависимостей $n(G)$. Из (7), (10), (11) следует, что $\Delta(G)$ во всех случаях является степенной функцией $\ln G$.

3. Туннельная излучательная рекомбинация в аморфном полупроводнике. Зависимость стационарной концентрации фотоэлектронов n от скорости генерации G в аморфном полупроводнике изучалась в [9], но при этом предполагалось, что не происходит безызлучательных переходов носителей между локализованными состояниями в хвосте зоны. Это может быть оправдано, например, в случае, когда в системе имеет место значительный полярный эффект и сильное электрон-фононное взаимодействие уменьшает вероятность безызлучательных переходов [10]. Однако вообще пренебречь такими переходами нельзя,

и далее вычисляется зависимость $n(G)$ с учетом безызлучательного туннелирования носителей между локализованными состояниями хвоста зоны.

Как отмечалось выше, в рассматриваемой модели 2 предполагается, что локализованные состояния в хвостах зон связаны с короткодействующими потенциальными ямами, хаотически расположеными в пространстве. Будем считать, что плотность локализованных состояний в хвостах зон спадает в глубь щели подвижности достаточно резко, например, по экспоненциальному закону

$$g(\varepsilon) = g_0 \exp(-\varepsilon/\varepsilon_0). \quad (12)$$

Времена безызлучательных и рекомбинационных переходов на расстояние R запишем соответственно в виде

$$\tau_t(R) = v^{-1} \exp(2R/a), \quad (13)$$

$$\tau_r(R) = \tau_0 \exp(2R/a), \quad (14)$$

где a — радиус локализации носителей, и будем по-прежнему считать, что $\tau_0 \gg 1$. Тогда, так же как и в модели 1, могут существовать два режима — квазиравновесный и режим диффузионно лимитируемой рекомбинации. Первый режим, как будет показано далее, реализуется тогда, когда скорость генерации велика и имеется такое большое число неравновесных носителей n , что значение экспоненциального множителя в (13), (14) при $R=n^{-1/3}$ меньше параметра τ_0 . Второй режим реализуется при малых скоростях генерации, когда $\exp(2n^{-1/3}/a) > \tau_0$.

Рассмотрим сначала случай больших накачек, когда реализуется квазиравновесный режим. В этом случае электроны и дырки быстро перераспределяются по состояниям хвостов своих зон и медленно рекомбинируют. Стационарное квазиравновесное распределение, например, электронов в хвосте зоны проводимости имеет следующий вид. Уровень ε_n , ниже которого существенная часть состояний заполнена, а выше — состояния, как правило, пусты, определяется условием

$$n = \int_{\varepsilon_n}^{\infty} g(\varepsilon) d\varepsilon, \quad (15)$$

что с учетом (12) приводит к оценке

$$\varepsilon_n = \varepsilon_0 \ln(g_0 \varepsilon_0 / n). \quad (16)$$

Рекомбинация при этом происходит на очень редких парах электронных и дырочных состояний, расположенных близко (на расстоянии порядка a) друг от друга. Время рекомбинации в таких парах не содержит экспоненциального множителя и близко к τ_0 . Концентрация рекомбинационных пар по порядку величины равна произведению концентрации заполненных электронных состояний n на вероятность na^3 того, что на расстоянии a от заполненного электронного имеется дырочное заполненное состояние. Тогда в стационарных условиях получаем

$$G = (na^3) n / \tau_0, \quad (17)$$

т. е.

$$n = (G \tau_0 / a^3)^{1/2}. \quad (18)$$

Эти результаты справедливы для достаточно больших значений G . С уменьшением G уменьшается n , и может наступить такая ситуация, что показатель экспоненты времени безызлучательного прыжка на расстояние порядка $n^{-1/3}$, т. е. величина $\exp(2n^{-1/3}/a)$, окажется уже больше параметра τ_0 . В этом случае исчезает причина для создания квазиравновесия и рекомбинации через редкие пары состояний. Электроны и дырки рекомбинируют через типичные пары заполненных состояний, удаленных друг от друга на расстояние порядка $n^{-1/3}$. В таком режиме время рекомбинации порядка $\tau_0 \exp(2n^{-1/3}/a)$, концентрация n определяется уравнением

$$G = n \tau_0^{-1} \exp(-2n^{-1/3}/a) \quad (19)$$

и равна

$$n = [a^3 \ln^3 (a^3 G \tau_0)^{-1}]^{-1}. \quad (20)$$

Легко показать, что характерная энергия, до которой опускаются носители в процессе термализации по состояниям хвоста зоны до рекомбинации, определяется тем же выражением (16), что и в квазиравновесном режиме.

Сдвиг спектра люминесценции по отношению к ширине щели подвижности вычисляется подстановкой функции $n(G)$ в выражение (16) для края зоны с наибольшим значением ε_0 . При этом получаются результаты, существенно отличающиеся от приведенных в разделе 2 для модели I. Наиболее сильное различие возникает при $G \rightarrow 0$. В этом случае сдвиг спектра Δ , согласно (16) и (20), зависит от G по дважды логарифмическому закону

$$\Delta \simeq \varepsilon_0 \ln [g_0 \varepsilon_0 a^3 \ln^3 (a^3 G \tau_0)^{-1}], \quad (21)$$

в то время как формулы для модели I предсказывают степенные зависимости Δ от $\ln G$.

До сих пор во всех рассуждениях предполагалось, что носители создаются светом с достаточно большой энергией квантов, так что близнецовые (рожденные в одном акте поглощения света) электроны и дырки при термализации до захвата в локализованные состояния успевают разойтись на достаточно большие расстояния и рекомбинируют независимо. Однако если носители рождаются вблизи порогов подвижности своих зон, то термализация осуществляется только за счет переходов по локализованным состояниям. В следующей работе мы покажем, что в этом случае доля $\eta(r)$ пар, в которых электрон и дырка разошлись на расстояние r , степенным образом убывает с ростом r . В результате для вычисления n при малых G в формулу (19) вместо G нужно подставлять $G\eta(n^{-1/2})$. Это приведет к незначительному уменьшению n по сравнению с (20). Убывание $\eta(r)$ с ростом r происходит не столь быстро, чтобы становилось существенным явление фотоиндукционной диффузии [8]. Однако даже степенного уменьшения $\eta(r)$ достаточно для того, чтобы при малых G большинство пар рекомбинировало близнецовым образом. При этом положение максимума люминесценции в отличие от (21) не должно зависеть от скорости генерации.

Авторы благодарят Е. Л. Ивченко и Б. Эссера за полезные обсуждения работы.

Л и т е р а т у р а

- [1] Алфёров Ж. И., Андреев В. М., Гарбузов Д. З., Румянцев В. Д. // ФТП. 1975. Т. 9. В. 2. С. 462—466.
- [2] Street R. A., Biegelsen D. K. // Sol. St. Commun. 1982. V. 44. N 5. P. 501—504.
- [3] Физика гидрогенизированного аморфного кремния. Ч. 2 / Под ред. Дж. Джоунспулоса, Дж. Люковски. М., 1988. 447 с.
- [4] Леванюк А. П., Осипов В. В. // УФН. 1981. Т. 133. В. 3. С. 427—477.
- [5] Шик А. Я. // ЖЭТФ. 1975. Т. 68. В. 6. С. 1859—1870.
- [6] Осипов В. В., Соболева Т. И., Фойгель М. Г. // ЖЭТФ. 1978. Т. 75. В. 3. С. 1044—1055.
- [7] Осипов В. В., Фойгель М. Г. // ФТП. 1982. Т. 16. В. 11. С. 2022—2028.
- [8] Шкловский Б. И., Эфрос А. Л. Электронные свойства легированных полупроводников. М., 1979. 416 с.
- [9] Барановский С. Д., Ивченко Е. Л., Шкловский Б. И. // ЖЭТФ. 1987. Т. 92. В. 6. С. 2234—2244.
- [10] Барановский С. Д., Карпов В. Г. // ФТП. 1987. Т. 21. В. 1. С. 3—18.